# 論文 緊張アラミド繊維ベルトを用いたせん断損傷RC短柱の応急補強実験

金城 秀俊\*1・山川 哲雄\*2・藤川 将吾\*1・中田 幸造\*3

要旨:緊張アラミド繊維ベルトを粗な外部横補強材として用いたRC造極脆性柱の一定軸力下の正負繰り返し水平加力実験を行い,緊張力がせん断強度に及ぼす影響を検討した。その後,粗な外部横補強材を除去し,せん断損傷した柱の残存軸耐力を測定後,緊張アラミド繊維ベルトで密に応急補強したせん断損傷柱の修復軸耐力の確認と水平加力実験を行い,応急補強効果を実験的に検証した。その結果,ベルトに緊張力を導入するとせん断強度が増大し,かつヒンジ部の横拘束効果が大きいとせん断強度の劣化も生じないことなどを明らかにした。

キーワード:アラミド繊維ベルト,プレストレス,極脆性柱,応急補強,せん断強度

### 1. 序

著者等はこれまで,せん断スパン比が1.0の無 補強極脆性柱を一定軸力下でせん断破壊させ、 この柱に対し緊張アラミド繊維ベルトにより応 急補強を施し、その耐震性能を検証してきた。検 証の項目は,損傷レベルに応じた残存軸耐力や 緊張アラミド繊維ベルトによる応急補強後の修 復軸耐力の照査,耐震性能回復具合からみる応 急補強効果である1)。これらの研究によれば,長 期軸力レベルを支持できない損傷度 ∨ を除き, 長期軸力レベルを支持できる損傷レベルIV以下 であれば応急補強が有効であることを確認して きた1),6)。即ち,重機を必要とせず,簡便な乾式 工法である本補強法は,地震被災後のせん断損 傷RC柱の応急補強に効果的であるとわかった。 その中でもせん断損傷RC柱に鋼板を柱4面にあ て,その上からアラミド繊維ベルトで外部横補 強し,緊張力を導入して鋼板を圧着する方法は 特に効果的である。しかし, せん断強度に寄与 するアラミド繊維ベルトのひずみや、アラミド 繊維ベルトと鋼板圧着による耐震性能回復につ いて,まだ十分に検討が行われていない。

以上のような背景から,アラミド繊維ベルト に導入した緊張力がせん断強度に及ぼす影響を

検証するために,せん断スパン比1.0のRC極脆性柱にせん断破壊先行が可能なように粗なアラミド繊維ベルトで外部横補強し,緊張力を零も含めて3種類程度に変化させた。異なった緊張力のもとでせん断破壊した時のアラミド繊維ベルトのひずみを測定することによって,せん断強度と緊張力の関係を明らかにする。

せん断破壊損傷後にアラミド繊維ベルトを除去した後の残存軸耐力や,応急補強後の修復軸耐力を検証した後,再度水平加力実験を行い,応急補強が有効であることを確認する。そのためには,応急補強後の横拘束効果とせん断補強効果がせん断損傷RC柱にどのように有効に機能したかを検証する必要がある。アラミド繊維ベルトに緊張力を導入し,外部横補強することの効果をせん断強度と応急補強に関して文献いに引き続き,さらに明らかにすることが本研究の目的である。

#### 2. 実験計画

本実験で用いた鉄筋,鋼板,及びアラミド繊維ベルト(以下ベルト)の力学的特性をTable 1に示す。せん断実験に用いたRC柱試験体をそのまま応急補強実験に転用した。これらのRC柱試

- \*1 琉球大学 大学院理工学研究科大学院生(正会員)
- \*2 琉球大学 工学部環境建設工学科教授 工博(正会員)
- \*3 琉球大学 工学部環境建設工学科助手 工修(正会員)

Table 1 Mechanical properties of materials

	а	(mm <sup>2</sup> )		$\sigma_{u}, \sigma_{v}$	Е
	1	t (mm)		(MPa)	(GPa)
Aramid belt (Single belt)	a	10.4	$\sigma_{_{\!\scriptscriptstyle u}}$	1389	91.2
Steel plate	t	3.2	$\sigma_{y}$	277	207
Rebar (D10)	a	71.0	$\sigma_{y}$	401	173
Hoop (3.7¢)	a	11.0	$\sigma_{y}$	559	190

Notes:  $\sigma_u / \varepsilon_u =$  fracture strength/strain of belt,  $\sigma_y / \varepsilon_y =$  yield strength/strain of steel, a=cross section area, t= thickness of steel plate, E=Young's modulus.

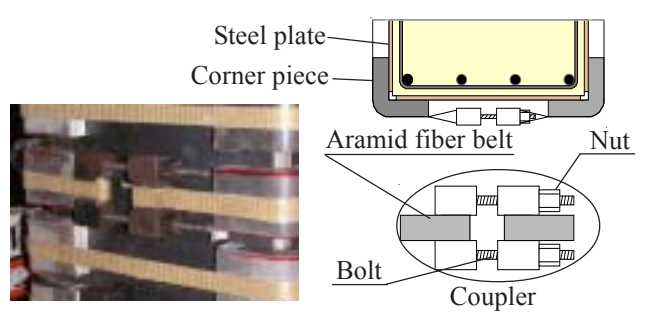


Fig. 1 Details of retrofit

Table 2 Emergency retrofitted column specimens

	ER04S -A150N/A65S	ER04S -A150M/A65S	ER04S -A150H/A65S	
Specimens	Steel plate (t=3.2 mm)	Steel plate (t=3.2 mm)	Steel plate (t=3.2 mm)	
Pretension strain level	0 μ <b>→</b> 3500 μ	3500μ <b>→</b> 3500μ	7000μ <b>→</b> 3500μ	
Max. crack width	3.5 mm (IV)	0.85 mm (III)	0.75 mm (III)	
Retrofit details	2ply-single-@150 2ply-single-@65 & Steel plate (240 × 470 × 3.2 mm)			
Common details	M/(VD)=1.0, Axial force ratio=0.2, $\sigma_B$ =27.5MPa, rebar: 12-D10 (pg=1.36%), hoop: 3.7φ-@105 (pw=0.08%).			

Notes: '2 ply' means two-layer aramid fiber belt.

験体一覧を Table 2 に示す。柱試験体の寸法は  $250 \times 250 \times 500$ mm である。せん断スパン比が 1.0 で ,主筋比は $p_g$ =1.36%,帯筋比は $p_w$ =0.08%と 非常に少ない極脆性柱となっている。したがって ,粗な耐震補強を施してもせん断破壊を起こしやすい試験体である。このことを利用して ,せん断強度に及ぼす緊張力の影響を検証するために ,ベルト幅が 17mm の基準幅を有するシングルベルトを 150mm 間隔で ,柱 1 体あたり 150 本用いた柱試験体を 150 体用意した。ただし ,緊張ひずみは 150% , 150% , 150% 150% , 150% 150% , 150% 150% , 150% 150% , 150% , 150% 150% , 151% ,

せん断破壊実験終了後はこれらのシングルベルトを除去し、残存軸耐力実験を行った。その後、どの試験体も柱4面に鋼板(240×470×3.2mm)をあて、その上からシングルベルトを65mm間隔(柱1本あたり7本)で巻き付け、0.35%の緊張ひずみを導入して鋼板を圧着した(Fig.1参照)。応急補強前のせん断損傷直後の残存軸耐

力,応急補強直後の修復軸 耐力,そして正負繰り返し 水平加力実験終了後の残 存軸耐力の確認と都合3回 の鉛直載荷実験と,応急補 強をはさみその前後に2回 の正負繰り返し水平加力 実験を行ったことになる。

載荷は建研式加力装置 を用い,一定軸圧縮力下の もとで正負繰り返し水平

加力実験を行った。せん断破壊実験では,部材角0.125%と0.25%を1サイクルずつ加力した後,部材角R=0.5%を正負3回繰り返し,R=1%を正負1回で終了した。応急補強実験では,引き続きR=1%を正負2回まで繰り返し,その後は0.5%ずつ増分させながら3サイクルずつ正負繰り返し,その後も靭性能力が期待できる場合には,部材角4.0%,5.0%を1サイクルずつ正負繰り返した。軸力比はせん断損傷実験およびその直後の応急補強実験でも,常に0.2の一定とした。

## 3. せん断損傷実験と解析

せん断損傷実験終了時の各試験体のひび割れ状況を Fig. 2 に,Fig. 3 にせん断損傷実験のせん断力 V と部材角 R の履歴曲線,柱の平均伸縮ひずみ  $\varepsilon_v$  と部材角 R の関係を示す。また,Fig. 4 に各試験体についての曲げ強度とせん断強度をAIJ靭性指針式で計算し,これらの計算結果と実験で得られたスケルトンカーブを重ねて示し,さらに 3 体の試験体のスケルトンカーブの比較を示す。なお,コンクリート強度は寸法効果を

ER04S -A150N/A65S	ER04S -A150M/A65S	ER04S -A150H/A65S		
		172		
IV (3.5mm)	III (0.85mm)	III (0.75mm)		
R=0.125% → 1 c	→ 1 cycle			
$R=0.5\% \rightarrow 3 \text{ cycles} \qquad R=1.0\% \rightarrow 1 \text{ cycle}$				

( )=max. crack width

Fig. 2 Observed cracking patterns

考慮し、シリンダー強度に強度低減係数 $0.89^2$ )を乗じた値を用いた。プレストレスによる能動的横拘束効果については平均的な側圧 $\sigma_r$ に換算し、Mander 式による拘束効果係数 $k_e^{3}$ )と Richart の文献 $^4$ )に従って、 $4.1 \cdot \sigma_r \cdot k_e$ としてコンクリート強度に加算した。受動的横拘束効果については、ベルトの破断ひずみ $\epsilon_u$ から初期緊張ひずみ $\epsilon_p$ を差し引いた分で考え、コンクリート強度やせん断強度に帯筋と同様の考え方で算入した。ただし、 $(\epsilon_u - \epsilon_p)$ は文献 $^5$ )に従って、 $7000\mu$ か $2/3\epsilon_u$ のいずれか小さい方を上限とした。

緊張力が零の試験体 ER04S-A150N/A65S では

微細なひび割れがR=0.25%ではいり,緊張ひず みが 0.35% の試験体 ER04S-A150M/A65S は R=0.25% で曲げひび割れが端部に生じた。しか し,緊張ひずみが0.7%の試験体ER04S-A150H/ A65S は, R=0.5% で初めてせん断ひび割れがは いった。このように,緊張力が大きいほどひび 割れははいりにくいことがわかる。いずれの試 験体も R=0.5% か, それに至る前に明瞭なせん 断ひび割れが生じ水平耐力が減少に転ずるが、 ベルトでせん断破壊の進展が防止され、かつ部 材角R=1.0%の正負1回の繰り返しで水平加力を 停止しているので,大きな水平耐力の低下は Fig. 3に示すように見当たらない。軸ひずみと部 材角の関係を示したFig.3でも同じ状況にある。 ただし,緊張力が零の試験体はR=1%の負側で 劣化の傾向が見える。

Fig. 4より,ベルトに緊張ひずみを導入すればするほど,せん断強度が本実験以内では増大している。しかし,せん断強度が最大になる緊張ひずみの限界は存在するものと思われる。なお,Figs. 3,4 の逆三角形印は明瞭なせん断ひび割れ

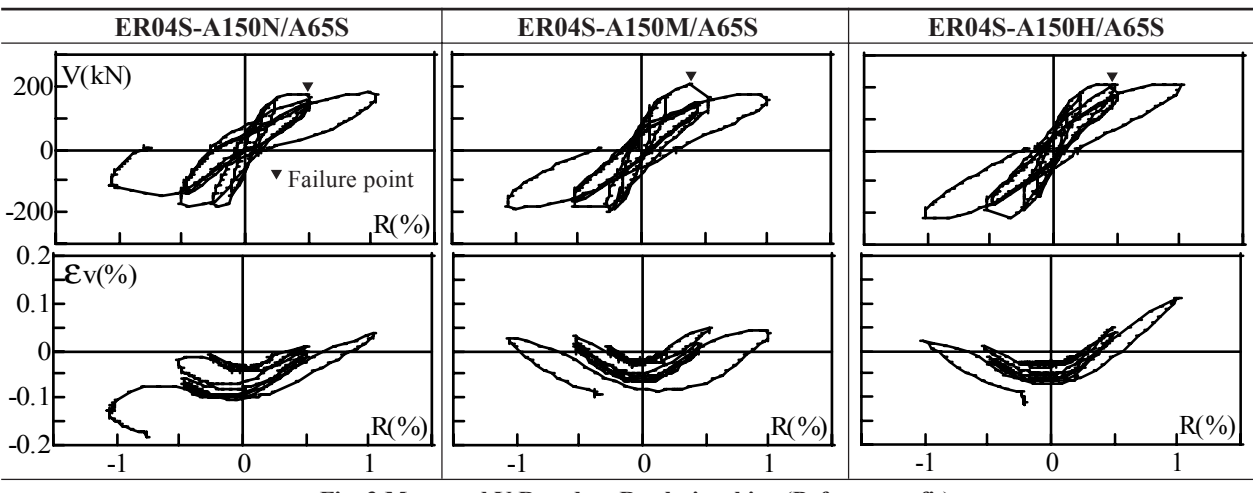


Fig. 3 Measured V-R and Ev-R relationships (Before retrofit)

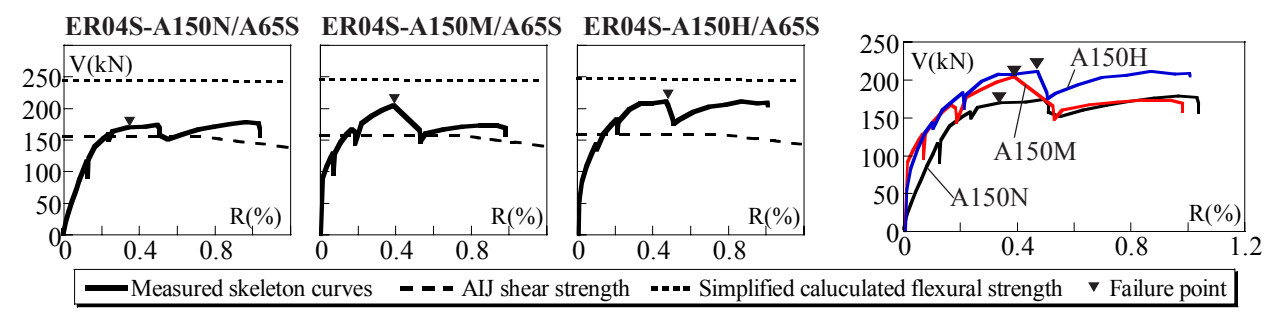


Fig. 4 Comparison of measured skeleton curves and calculated flexural and shear strength

が生じ,せん断破壊が始まった部材角を示す。それによると,いずれもR=0.5%以内でせん断破壊が始まっている。

加力実験で得られたベルトのひずみ状況を Fig. 5に示す。せん断破壊強度に到達した瞬間は ベルトのひずみは初期ひずみ状態とほぼ同じで ある。すなわち,ベルトの膜剛性が小さく柱の せん断ひび割れに反応していないが,その後正 負繰り返しが進み,ひび割れ幅が拡大し,かつ 部材角が増大してくると,Fig. 5に示すようにベルトのひずみが増大してくる。本実験の場合,最大0.3%から0.35%程度のひずみが,初期ひずみ 状態から増大しているようである。

せん断損傷実験後,3本のシングルベルトを除去し中心圧縮実験を行い,残存軸耐力を確認した。残存軸耐力実験に際しては,水平力をゼロに戻すだけで,残留変形に対しては特に処置を行っていない。得られたコンクリートの応力ひずみ曲線をFig.6に示す。Fig.6では断面の平面保持仮定を導入し,主筋が負担する軸力を除去し,コンクリートの負担のみを示す。ただし,中

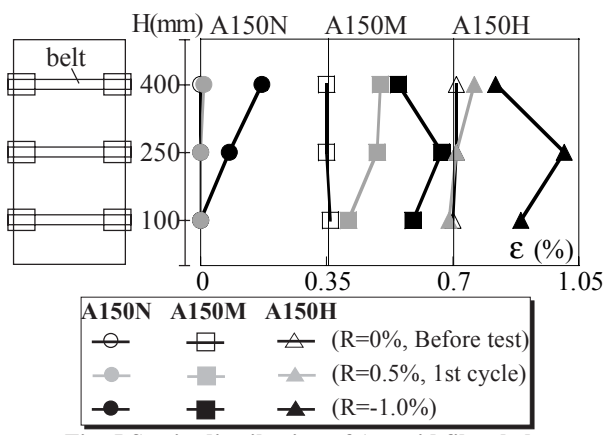


Fig. 5 Strain distribution of Aramid fiber belt

心圧縮実験は次の応急補強実験を控えて,損傷や残留ひずみを極力小さくおさえるために圧縮破壊までは加力していない。したがって,Fig. 6に示すように Mander 式³)で実験結果を補った。損傷したコンクリートにMander式を適用することの妥当性の確認は今後の研究課題であるが,本研究では「強度の低いコンクリート」ということを念頭に置き Mander 式を適用した。

軸耐力実験は一定軸力比 0.2 におけるせん断実験終了後,軸力比 0.2 から始まり,同じ 0.2 で終了するので,試験体には軸力比 0.2 による鉛直ひずみとせん断実験の繰返しによる鉛直ひずみが累積している。ここで示しているグラフの鉛直ひずみ(横軸)は,軸耐力実験による鉛直ひずみから曲げせん断実験により累積した鉛直ひずみを除いたものである。さらに,平面保持を仮定して鉛直ひずみに対応した鉄筋の応力負担分を、軸耐力実験値から除去することでコンクリート負担分を求めた。軸耐力実験値のピークを Mander 式が通過するようにプレーンコンクリート強度を求めた。ただし,この強度には帯筋の横拘束効果がわずかに含まれている。

補強前のプレーンコンクリート強度が決定したので、応急補強後はこの値を使用し、コンファインドコンクリート強度を計算する。その結果、文献 $^{\circ}$ で提案した損傷度とコンクリート強度の低減係数の関係が、本実験でもほぼ満たされていることがわかる。すなわち、損傷度が $^{\circ}$ IVであれば損傷コンクリート強度は、コンクリートシリンダー強度  $^{\circ}$ Gの  $^{\circ$ 

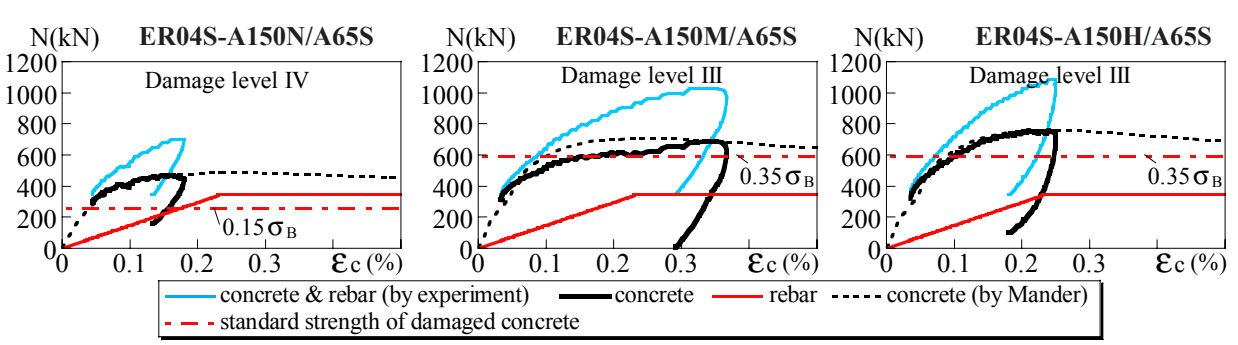


Fig. 6 Axial compression tests of shear damaged columns and analytical estimation according to Mander

#### 4. 応急補強以後の加力実験と解析

応急補強後の一定軸力(軸力比0.2)下の正負繰り返し水平加力実験のV-R及び $\epsilon_v$ -R曲線を,応急補強前の加力実験結果と合わせてFig.7に示す。いずれの試験体も応急補強後は靭性に富んだ曲げ挙動を示していることがわかる。すなわち,本応急補強法は65mm間隔のシングルベルトに0.35%の緊張ひずみを導入したものであるが,長期軸力(軸力比0.2)を支持可能な損傷度IV以下であれば,十分応急補強が可能であることを示している。ちなみに,この場合のベルトの測定ひずみを各部材角ごとに3つの試験体についてFig.8に示す。この図から部材角Rが最

も大きいR=5%でも最大0.7%程度あり,初期導入緊張ひずみ0.35%から約0.35%増大したにすぎない。しかし,部材角の増大とともに確実にベルトのひずみは増大している。この理由は,特に柱頭部近傍はブリージングの影響でコンクリート強度が弱い上に,曲げモーメントが大きく,かつヒンジ部でもあるので膨張しやすいからと推定される。

一方,応急補強直後の修復軸耐力を確認するために圧縮実験を行い,その結果を前述と同様に主筋の支持分を除いて,コンクリートの負担分のみFig. 9に示す。ここでも,実験結果を補完する意味で Mander 式<sup>3)</sup>を適用し,コンクリート

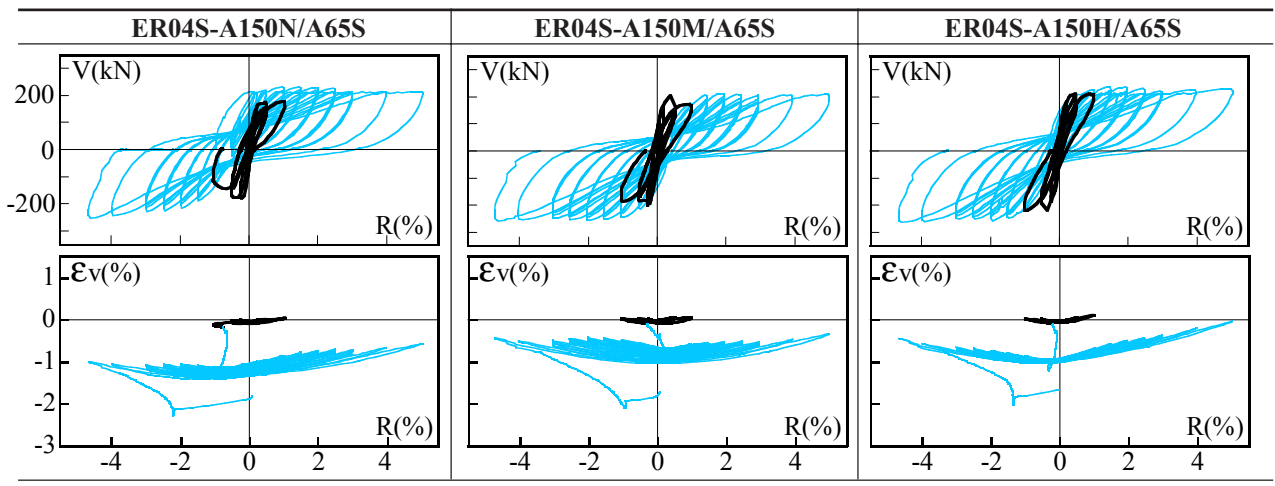


Fig. 7 Measured V-R and Ev-R relationships

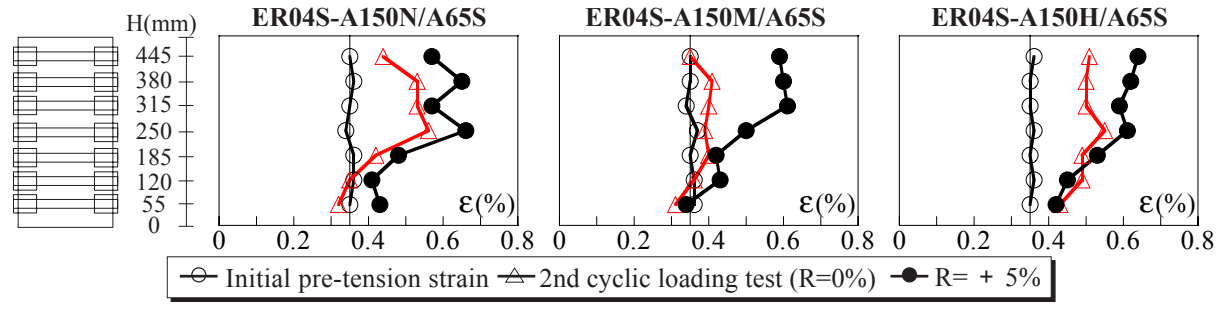


Fig. 8 Strain distribution of Aramid fiber belt after emergency retrofit

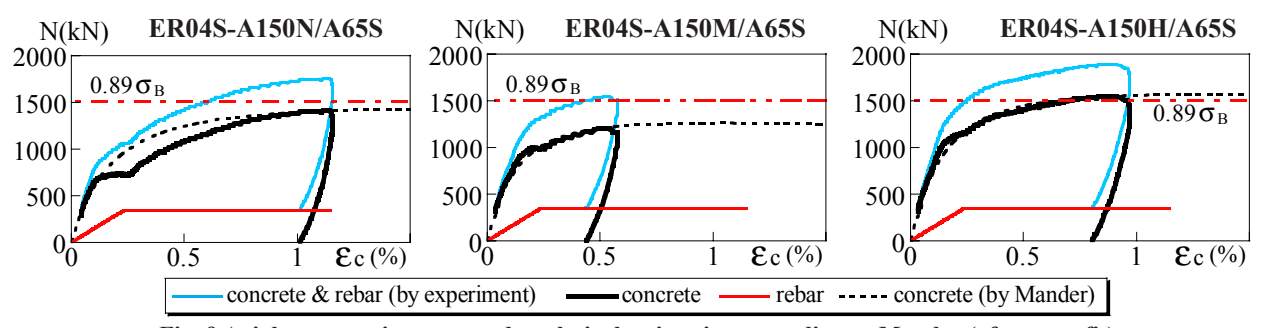


Fig. 9 Axial compression tests and analytical estimation according to Mander (after retrofit)

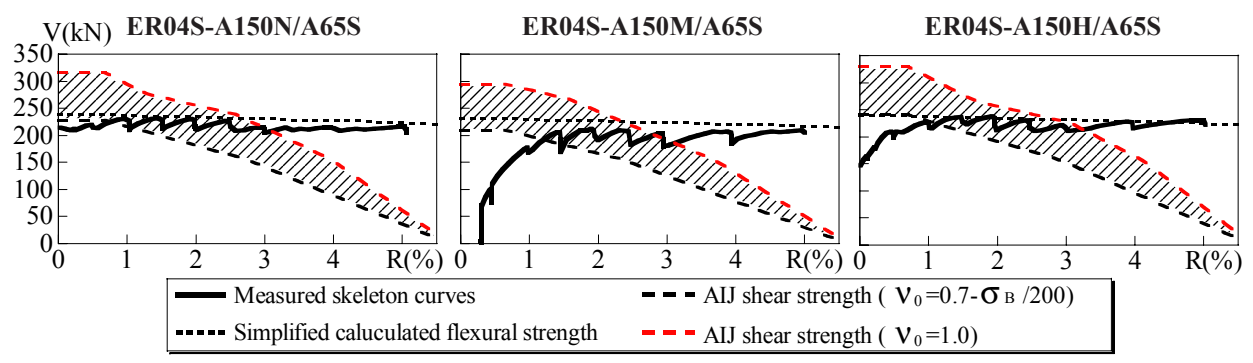


Fig. 10 Comparison of measured skeleton curves and calculated flexural and shear strength

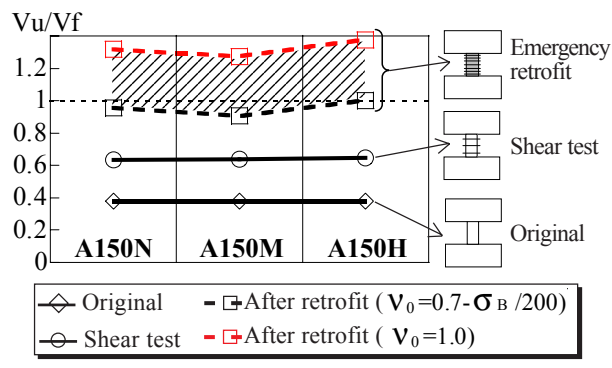


Fig. 11 Shear strength Vu / flexural strength Vf

の強度を推定した。実線が実験値で,点線が計算値である。応急補強により,損傷前のコンクリート強度をほぼ修復している。

このコンクリート強度を用いて,曲げ強度と せん断強度をAIJ靭性指針式で計算し、これらの 計算結果を実験で得られたスケルトンカーブと 比較するために両者を重ねてFig. 10に示す。応 急補強後の試験体はいずれも鋼板が圧着されて いるので,コンクリートの有効強度係数ν。を1.0 と仮定した場合も計算した。そうすると, せん 断強度計算値が曲げ強度計算値を大幅に上回る が,実際のせん断強度はFig. 10に示す斜線部内 にあると思われる。そして,密な緊張ベルトと 鋼板によってヒンジ部が高横拘束されているの で、曲げ強度が低下することなく靭性が確保さ れている。緊張ベルトによる横補強効果を, せ ん断余裕度で Fig. 11 に示す。Fig. 11 により,応 急補強によってせん断補強効果がかなり期待で きることがわかる。

# 5. 結論

1) 本実験の範囲内ではベルトに導入する初期緊張ひずみが大きいほど, せん断強度は少しずつ

増大することがわかった。また,せん断強度は AIJ 靭性指針式で説明可能である。

- 2) 緊張アラミド繊維ベルトにより柱のヒンジ領域が十分に横拘束されている場合は,ヒンジ部コンクリートの劣化は起こらず,せん断強度は低下しない。
- 3) せん断損傷 RC 柱の損傷度が長期軸力(軸力比 0.2)を支持できる範囲内, すなわち損傷度が IV 以下であれば, 本応急補強法で靭性に富んだ曲げ挙動を確保できる。

# 引用文献:

- 1) 藤川将吾,山川哲雄,佐藤元,玉寄幸直:損傷極脆性柱に緊張アラミド繊維ベルトを用いた耐震応急補強実験,コンクリート工学年次論文集,Vol. 25, No. 2, pp.1759-1764, 2003.
- 2) 崎野健治,山口達也,中原浩之,向井昭義: コンクリート充填円形鋼管短柱の中心圧縮耐力, 構造工学論文集,Vol.48B,pp.231-236,2002.3.
- 3) Mander, J. B., Priestley, M. J. N. and Park, R., Theoretical Stress-Strain Model for Confined Concrete, J. of Structural Engineering, ASCE, Vol. 114, No. 8, pp. 1804-1826, Aug. 1988.
- 4) Richart, F.E. et al: A Study of the Failure of Concrete under Combined Compressive Stresses, University of Illinois, Engineering Experimental Station, Bulletin, No. 185, 1928.
- 5) 日本建築学会:連続繊維補強材を用いた既存 鉄筋コンクリート造及び鉄骨鉄筋コンクリート 造建築物の耐震改修設計・施行指針,日本建築 防災協会,1999.9.
- 6) 山川哲雄,宮城敏明:緊張力を導入したPC 鋼棒と鋼板を用いたせん断損傷RC柱の応急補 強法,日本建築学会構造系論文集,No.586, pp.171-178,2004.12.